

## Вынужденные колебания парашютной системы с упругими стропами

**Чуркин В.М.**

*Московский авиационный институт (национальный исследовательский университет), МАИ, Волоколамское шоссе, 4, Москва, А-80, ГСП-3, 125993, Россия*  
*e-mail: [churandr@mail.ru](mailto:churandr@mail.ru)*

### **Аннотация**

Рассматриваются вынужденные колебания в вертикальной плоскости парашютной системы с упругими стропами. При записи уравнений движения купол считается симметричным твердым телом, стропы моделируются двумя линейными невесомыми пружинами, а груз – точечной массой. Возмущающее воздействие, вызывающее колебания, представляется дополнительной составляющей вектора скорости, направленной горизонтально и изменяющейся по гармоническому закону. Составляются уравнения вынужденных колебаний системы, в которых учитывается нелинейная зависимость аэродинамической силы купола парашюта от его угла атаки. Методом гармонической линеаризации находятся выражения, определяющие основные параметры колебательных режимов и позволяющие рассчитывать амплитудно-фазовые частотные характеристики системы.

**Ключевые слова:** парашютная система, упругие стропы, вынужденные колебания, гармоническая линеаризация, параметры колебательных режимов.

Рассмотрим парашютную систему (ПС), составленную из жесткого симметричного относительно оси купола с центром давления  $D$  и центром масс  $C$ , лежащими на его оси симметрии, упругих строп в виде двух линейных невесомых пружин и точечного груза. Допустим, что на купол действуют сила тяжести  $\bar{G}_K$  и составляющие аэродинамической силы: нормальная  $\bar{N}$  и касательная  $\bar{T}$ , а на груз – только сила тяжести  $\bar{G}_r$ . Движение такой модели ПС в вертикальной плоскости можно описать следующей системой уравнений [1]

$$\gamma_1(\dot{u} - vr) - \gamma_2 r^2 = -\frac{C_T}{2k} u_D^2 + \frac{C_{T0}}{2k} (1 - \mu) \cos \theta + \frac{R_{1x} + R_{2x}}{1 + \mu_1};$$

$$\gamma_1(\dot{v} + ur) + \gamma_2 \dot{r} = -\frac{C_N}{2k} u_D^2 - \frac{C_{T0}}{2k} (1 - \mu) \sin \theta + \frac{R_{1y} + R_{2y}}{1 + \mu_1};$$

$$\dot{r} + \gamma_3(\dot{v} + ur) = -\frac{C_N}{2i} u_D^2 - \frac{C_{T0}}{2i} (1 - \mu) \delta_C \sin \theta + \eta [\delta_B (R_{1x} - R_{2x}) + \delta_E (R_{1y} + R_{2y})];$$

$$\dot{u}_1 + \dot{u} - yr^2 - xr^2 - 2v_1 r = \frac{C_{T0}}{2k} (1 + \mu_1) \cos \theta - \frac{1}{\mu} (R_{1x} + R_{2x});$$

$$\dot{v}_1 + \dot{v} + xr^2 + yr^2 + 2u_1 r = -\frac{C_{T0}}{2k} (1 + \mu_1) \sin \theta - \frac{1}{\mu} (R_{1y} + R_{2y});$$

$$\dot{\theta} = r;$$

$$\dot{x} = u_1;$$

$$\dot{y} = v_1.$$

(1)

Здесь введены обозначения

$$u = \frac{V_{Ox}}{V_{00}}; \quad v = \frac{V_{Oy}}{V_{00}}; \quad u_D = \frac{V_D}{V_{00}}; \quad u_1 = \frac{V_{1x}}{V_{00}}; \quad v_1 = \frac{V_{1y}}{V_{00}}; \quad r = \frac{\omega l_D}{V_{00}}; \quad x = \frac{x_A}{l_D};$$

$$y = \frac{y_A}{l_D}; \quad t^* = \frac{tV_{00}}{l_D}; \quad \mu = \frac{m_\Gamma}{m}; \quad \mu_1 = \frac{\lambda_{11}}{m}; \quad k = \frac{m + \lambda_{11}}{\rho S l_D}; \quad i = \frac{J_k + \lambda_{66}}{\rho S l_D^3}; \quad \eta = \frac{m l_D^2}{J_k + \lambda_{66}};$$

$$\mu_{26} = \frac{\lambda_{26}}{l_D(m + \lambda_{11})}; \quad \gamma_1 = \frac{1 + \mu_1 - \mu}{1 + \mu_1}; \quad \gamma_2 = \mu_{26} - \delta_C \frac{1 - \mu}{1 + \mu_1}; \quad \gamma_3 = \eta_{26} - \eta \delta_C (1 - \mu);$$

$$\eta_{26} = \frac{l_D \lambda_{26}}{J_k + \lambda_{66}}, \quad \delta_B = \frac{b}{l_D}; \quad \delta_C = \frac{l_C}{l_D}; \quad \delta_E = \frac{l_E}{l_D}; \quad R_{jx,y} = \frac{\mu l_D F_{jx,y}}{m_\Gamma V_{00}^2}; \quad j=1,2;$$

$V_{Ox}, V_{Oy}$  – проекции вектора скорости точки O на оси системы xOy;

$V_D$  – скорость центра давления D купола;  $V_{00}$  – скорость точки O при установившемся спуске ПС;

$\omega$  – угловая скорость вращения купола;  $\theta$  – угол тангажа купола;

$V_{1x}, V_{1y}$  – проекции вектора скорости груза на оси системы xOy;

$C_T, C_N$  – коэффициенты касательной T и нормальной N составляющих аэродинамической силы купола

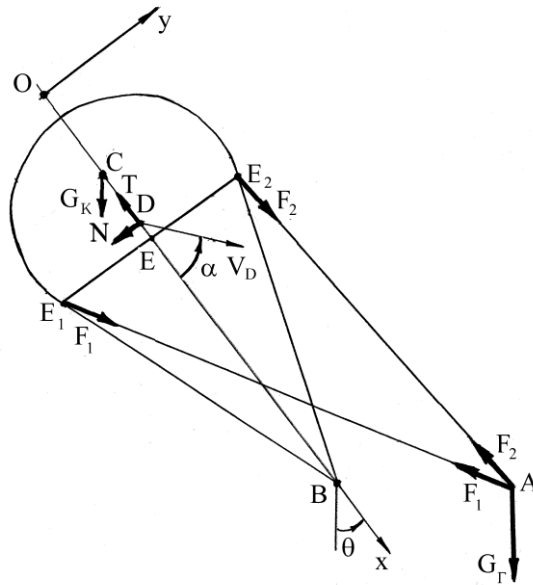


Схема ПС с упругими стропами.

$$C_T = C_T(\alpha); \quad C_N = C_N(\alpha);$$

$\alpha$  – угол атаки купола;  $F_{jx}, F_{jy}$  – проекции на оси системы  $xOy$  сил реакций строп

$F_j (j = 1, 2)$

$$F_{jx} = (x_A - l_E)F_j / l_j; \quad F_{jy} = (y_A \pm b)F_j / l_j;$$

$l_j$  – длина  $j$ -ой деформированной стропы

$$l_j = \sqrt{(x_A - l_E)^2 + (y_A \pm b)^2};$$

$x_A, y_A$  – координаты груза;  $l_C, l_D, l_E, b$  – расстояния между характерными точками

купола

$$l_C = OC; \quad l_D = OD; \quad l_E = OE; \quad b = EE_1 = EE_2;$$

$m_K, m_\Gamma$  – массы купола и груза

$$m_K + m_\Gamma = m;$$

$J_K$  – момент инерции купола относительно оси, проходящей через точку  $O$ .

Силы реакций строп условимся представлять в виде суммы

$$F_i = c(l_i - l) + f \frac{dl_i}{dt},$$

где  $c$  – коэффициент упругости стропы;  $f$  – коэффициент «внутреннего» трения

стропы;  $l$  – длина недеформированной стропы

$$l = \sqrt{h^2 + b^2}; \quad h = BE;$$

$$\frac{dl_i}{dt} = \frac{1}{l_i} \left[ (x_A - l_E) \frac{dx_A}{dt} + (y_A \pm b) \frac{dy_A}{dt} \right].$$

Предположим, что движение ПС сопровождается воздействием возмущения, которое описывается дополнительной составляющей  $\bar{\varepsilon}$  вектора скорости  $\bar{V}_D$ . В реальных условиях таким возмущением может быть ветер или управляющее

воздействие. Рассмотрим случай, когда вектор  $\bar{\varepsilon}$  лежит в вертикальной плоскости, направлен горизонтально и имеет модуль, изменяющийся по гармоническому закону  $\varepsilon = \varepsilon_m \sin \Omega t^*$ . Тогда в уравнениях (1)

$$u_D^2 = (u + \varepsilon \sin \theta)^2 + (v + \varepsilon \cos \theta + r)^2;$$

$$\alpha = \operatorname{arctg} \left( \frac{v + \varepsilon \cos \theta + r}{u + \varepsilon \sin \theta} \right).$$

Вынужденные колебания геометрически неизменяемой модели ПС и модели ПС с шарнирно подвешенным грузом под действием такого возмущения исследовались в монографии [1]. Используем ту же методику для анализа вынужденных колебаний модели ПС с упругими стропами. Составим систему упрощенных нелинейных уравнений возмущенного движения ПС, приняв, что в невозмущенном движении купол ПС движется поступательно с постоянной скоростью  $\bar{V}_{00}$  и постоянным углом атаки  $\alpha = \alpha_n$ , а груз (с координатами  $x = x^*$ ;  $y = 0$ ) относительно купола не перемещается. Будем считать, что в возмущенном движении

$$u = \cos \alpha_n + x_1; \quad v = \sin \alpha_n + x_2; \quad r = x_3; \quad \theta = x_4;$$

$$u_1 = x_5; \quad v_1 = x_6; \quad x = x^* + x_7; \quad y = x_8; \quad \alpha = \alpha_n + x_9.$$

Рассматривая колебания ПС в диапазоне частот основного резонанса, представим искомое решение в виде

$$x_i = x_{i0} + x_{i1}; \quad x_{i1} = A_i \sin(\Omega t^* + \varphi_i); \quad i = 1, \dots, 9. \quad (2)$$

После гармонической линеаризации нелинейной функции  $C_N = C_N(\alpha)$

запишем систему упрощенных нелинейных уравнений возмущенного движения

ПС в операторной форме

$$(a_{11}s + b_{11})x_1 + b_{12}x_2 + b_{13}x_3 + b_{15}x_5 + b_{17}x_7 = 0;$$

$$a_{22}sx_2 + (a_{23}s + b_{23})x_3 + b_{24}x_4 + b_{26}x_6 + b_{28}x_8 + b_{29}(J_0 + Jx_{91}) = 0;$$

$$a_{32}sx_2 + (s + b_{33})x_3 + b_{34}x_4 + b_{36}x_6 + b_{38}x_8 + b_{39}(J_0 + Jx_{91}) = 0;$$

$$sx_1 + (s + b_{45})x_5 + b_{47}x_7 = 0;$$

$$sx_2 + a_{53}sx_3 + b_{54}x_4 + (s + b_{56})x_6 + b_{58}x_8 = 0;$$

$$sx_4 - x_3 = 0;$$

$$sx_7 - x_5 = 0;$$

$$sx_8 - x_6 = 0,$$

где  $a_{11} = a_{22} = \gamma_1$ ;  $b_{11} = \frac{C_{T0}}{k} \cos \alpha_n$ ;  $b_{12} = \frac{C_{T0}}{k} \sin \alpha_n$ ;  $b_{13} = \left( \frac{C_{T0}}{k} - \gamma_1 \right) \sin \alpha_n$ ;

$$b_{15} = -\frac{2\mu\sigma e_h^2}{1 + \mu_1}; \quad b_{17} = -\frac{2\mu\lambda}{1 + \mu_1} (1 - e_1 + e_1 e_h^2); \quad a_{23} = \gamma_2; \quad b_{23} = \gamma_1 \cos \alpha_n;$$

$$b_{24} = \frac{C_{T0}}{2k} (1 - \mu); \quad b_{26} = -\frac{2\mu\sigma e_B^2}{1 + \mu_1}; \quad b_{28} = -\frac{2\mu\lambda}{1 + \mu_1} (1 - e_1 + e_1 e_B^2); \quad b_{29} = \frac{1}{2k};$$

$$a_{32} = \gamma_3; \quad b_{33} = \gamma_3 \cos \alpha_n; \quad b_{34} = \frac{C_{T0}}{2i} (1 - \mu) \delta_C; \quad b_{36} = -2\mu\sigma\eta e_B (\delta_B e_h + \delta_E e_B);$$

$$b_{38} = -2\mu\lambda\eta [\delta_E (1 - e_1 + e_1 e_B^2) + \delta_B e_1 e_B e_h]; \quad b_{39} = \frac{1}{2i}; \quad b_{45} = 2\sigma e_h^2; \quad b_{47} = 2\lambda (1 - e_1 + e_1 e_h^2);$$

$$a_{53} = x^*; \quad b_{54} = \frac{C_{T0}}{2k} (1 + \mu_1); \quad b_{56} = 2\sigma e_B^2; \quad b_{58} = 2\lambda (1 - e_1 + e_1 e_B^2);$$

$$\sigma = \frac{l_D f}{m_\Gamma V_{00}}; \quad \lambda = \frac{l_D^2 c}{m_\Gamma V_{00}^2}; \quad e_h = \frac{h^*}{l^*}; \quad e_1 = \frac{l}{l^*}; \quad e_B = \frac{b}{l^*};$$

$$h^* = x^* - l_E; \quad l^* = \sqrt{(h^*)^2 + b^2}; \quad C_{T0} = (C_T)_{\alpha=\alpha_n};$$

$J_0, J$  – коэффициенты гармонической линеаризации функции  $C_N = C_N(\alpha)$ .

Например, при  $C_N = c_1 \alpha + c_2 \alpha^3$ ;  $c_1 < 0$ ;  $c_2 > 0$ ;

$$J_0 = c_2 \left[ 2\alpha_\Pi^2 x_{90} + 3\alpha_\Pi x_{90}^2 + x_{90}^3 + \frac{3}{2}(\alpha_\Pi + x_{90})A_9^2 \right];$$

$$J = c_2 \left[ 2(\alpha_\Pi^2 + 3\alpha_\Pi x_{90} + \frac{3}{2}x_{90}^2) + \frac{3}{4}A_9^2 \right]. \quad (3)$$

Полученные уравнения распадаются на две системы, которые соответствуют постоянным и переменным составляющим искомого решения (2).

Из системы для постоянных составляющих находим

$$(\alpha_\Pi + x_{90})(x_{90}^2 + 2\alpha_\Pi x_{90} + \frac{3}{2}A_9^2) = 0.$$

Отсюда определяем значения смещения центра колебаний  $x_{90}$

$$(x_{90})_1 = -\alpha_n; \quad (x_{90})_{2,3} = -\alpha_n \pm \sqrt{\alpha_n^2 - \frac{3}{2}A_9^2}. \quad (4)$$

Учитывая, что

$$x_9 \approx (x_2 + \varepsilon + x_3) \cos \alpha_n - x_1 \sin \alpha_n,$$

представим систему для переменных составляющих таким образом

$$(g_{120}s + g_{12})x_{21} + (g_{130}s + g_{13})x_{31} + g_{15}x_{51} + g_{17}x_{71} + (g_{190}s + g_{19})x_{91} = 0;$$

$$g_{220}s x_{21} + (g_{230}s + g_{23})x_{31} + g_{24}x_{41} + g_{26}x_{61} + g_{28}x_{81} + g_{29}Jx_{91} = 0;$$

$$g_{320}s x_{21} + (s + g_{33})x_{31} + g_{34}x_{41} + g_{36}x_{61} + g_{38}x_{81} + g_{39}Jx_{91} = 0;$$

$$g_{420}sx_{21} + g_{430}sx_{31} + (s + g_{45})x_{51} + g_{47}x_{71} + (g_{490}s + g_{49})x_{91} = 0;$$

$$sx_{21} + g_{530}sx_{31} + g_{54}x_{41} + (s + g_{56})x_{61} + g_{58}x_{81} = 0;$$

$$sx_{41} - x_{31} = 0;$$

$$sx_{71} - x_{51} = 0;$$

$$sx_{81} - x_{61} = 0. \tag{5}$$

Здесь  $g_{120} = a_{11}g_1$ ;  $g_1 = \text{ctg}\alpha_n$ ;  $g_{12} = b_{11}g_1 + b_{12}$ ;  $g_{130} = -g_{120}$ ;  $g_{13} = b_{13} - b_{11}g_1$ ;

$$g_{15} = b_{15}; g_{17} = b_{17}; g_{190} = -a_{11}g_2 + \varepsilon_m(g_{120}\Omega\cos\varphi_9 - b_{11}\text{ctg}\alpha_n\sin\varphi_9)/(A_9\Omega);$$

$$g_{19} = -b_{11}g_2 + \varepsilon_m(g_{120}\Omega\sin\varphi_9 + b_{11}\text{ctg}\alpha_n\cos\varphi_9)/A_9; g_2 = 1/\sin\alpha_n; g_{19} = -b_{11}g_2;$$

$$g_{220} = a_{22}; g_{230} = a_{23}; g_{23} = b_{23}; g_{24} = b_{24}; g_{26} = b_{26}; g_{28} = b_{28}; g_{320} = a_{32};$$

$$g_{33} = b_{33}; g_{34} = b_{34}; g_{36} = b_{36}; g_{38} = b_{38}; g_{39} = b_{39}; g_{420} = g_1; g_{430} = -g_1;$$

$$g_{45} = b_{45}; g_{47} = b_{47}; g_{490} = -g_2 + (g_1\varepsilon_m\cos\varphi_9)/A_9; g_{49} = (g_1\Omega\varepsilon_m\sin\varphi_9)/A_9;$$

$$g_{530} = a_{53}; g_{54} = b_{54}; g_{56} = b_{56}; g_{58} = b_{58}.$$

Системе (5) соответствует характеристическое уравнение

$$B(s) + JG(s) = 0, \tag{6}$$

где  $B(s) = \sum_{v=0}^8 B_v s^{8-v}$ ;  $G(s) = \sum_{v=0}^7 G_v s^{7-v}$ .

Подстановка  $s = j\Omega$  в уравнении (6) приводит к системе, которая с учетом равенств (3) и (4) позволяет рассчитывать значения амплитуды  $A_9$  и фазы  $\varphi_9$ , соответствующие заданным значениям частоты  $\Omega$  искомым периодическим колебаний. Так как характеристическое уравнение (6) имеет 8-ой порядок, то определение значений амплитуды  $A_9$  и фазы  $\varphi_9$ , соответствующих значениям

частоты  $\Omega$ , и анализ устойчивости колебаний удобнее проводить с помощью построений на комплексной плоскости [2].

### **Библиографический список**

1. Чуркин В.М. Динамика парашютных систем на этапе спуска. – М.: Изд-во МАИ-ПРИНТ, 2008. – 184 с.
2. Попов Е.П., Пальтов И.П. Приближенные методы исследования нелинейных автоматических систем. – М.: Физматгиз, 1960. – 792 с.